Date: 24/07/2015 Page: 1/7

Titre: SSNV240 - Loi de comportement KIT_RGI: gonflement[...]

Responsable : François HAMON Clé : V6.04.240 Révision : 13602

SSNV240 - Loi de comportement KIT_RGI : gonflement libre sur éprouvette

Résumé:

Ce document présente un test permettant de valider les capacités du modèle de comportement KIT_RGI et plus précisément le module RGI_BETON. Précisons que KIT_RGI est un ensemble de trois modules permettant de prendre en compte les déformation différées du béton avec FLUA_PORO_BETON, l'endommagement du béton avec ENDO_PORO_BETON et la réaction alcali-granulat avec RGI_BETON. Un essai de gonflement libre sous l'effet de la réaction alcali-granulat sur une éprouvette est simulé. Précisons que les propriétés matériaux ne correspondent pas à un béton réél.

Titre: SSNV240 - Loi de comportement KIT_RGI: gonflement[...] Date: 24/07/2015 Page: 2/7

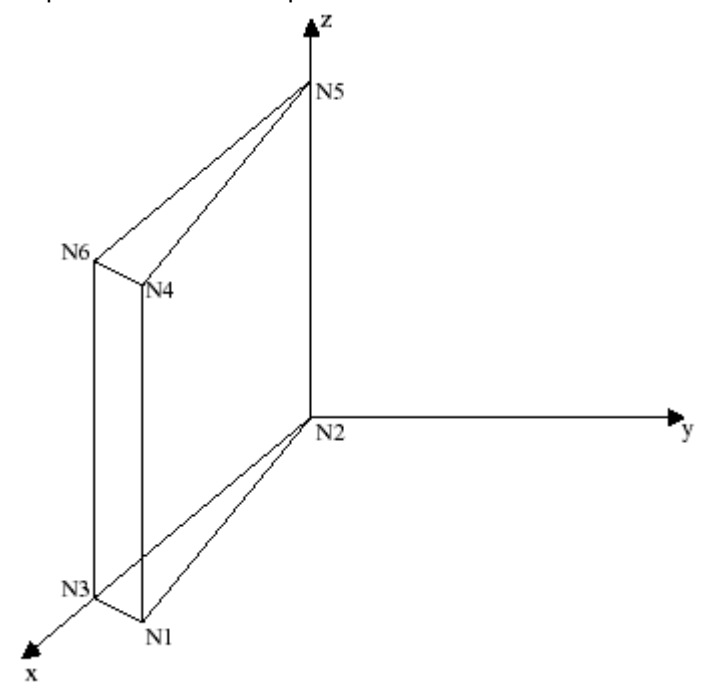
Responsable: François HAMON Clé: V6.04.240 Révision: 13602

Problème de Référence

Les simulations numériques menées ici ont pour objectif de vérifier la capacité du modèle à reproduire l'évolution des gonflements d'une éprouvette en gonflement libre.

1.1 Géométrie

Le test s'appuie sur la représentation d'une éprouvette $13 \times 24 \, cm$.



1.2 Propriété des matériaux

Module d'Young: $E = 38000 \, MPa$ v = 0.13Coefficient de Poisson : $\sigma_{\rm ff} = 3.7 \, MPa$ Résistance à la traction : Résistance à la compression : $\sigma_{fc} = 38.3 \, MPa$

 $\varepsilon_c = 2.0.10^{-3}$ Déformation au pic de compression : $\varepsilon_{f} = 2.0 \cdot 10^{-4}$ Déformation au pic de traction :

Les propriétés matériaux de la RAG sont les suivantes :

- $ALUC = 500 \, mol \, l(mm^3)$ ALUC
- $SULC = 177 \, mol \, I(mm^3)$, SULC
- $SILC = 1354 \, mol \, I(mm^3)$, SILC
- $TDEF = 20 \circ C$, TDEF
- $TAAR = 120s^{-1}i$, TAAR
- SSDE = 0.95, SSDE
- SSAR SAAR = 0.2,
- $VAAR = 0.0055 \, mm^3$, VAAR
- $VETT = 715e-6 mm^3$, VETT
- $VVAR = 0.15 * VAAR mm^3$ VVAR =
- $VVDE = 0.0001 \, mm^3$, ♦ VVDE

Titre: SSNV240 - Loi de comportement KIT_RGI: gonflement[...] Date: 24/07/2015 Page: 3/7
Responsable: François HAMON Clé: V6.04.240 Révision: 13602

```
BAAR = 0.23,
♦ BAAR
              BDEF = 1,
 BDEF
              MAAR = 27700.0 MPa,
 MAAR
 MDEF
              MDEF = 0MPa,
 COTH
              coth = 0,
 CORG
              CORG = 0,
              ID0=0,
 TDO
 ID1
              ID1 = 6.2,
              ID2 = 11,
 ID2
```

Seuls les gonflements asymptotiques sont pris en compte pour l'identification des paramètres « RAG ». Pour chaque éprouvette, la simulation prend en compte le degré de saturation ainsi que les contraintes axiale et radiale.

Les paramètres de fluage sont identifiés afin de représenter les courbes de fluage suivantes :

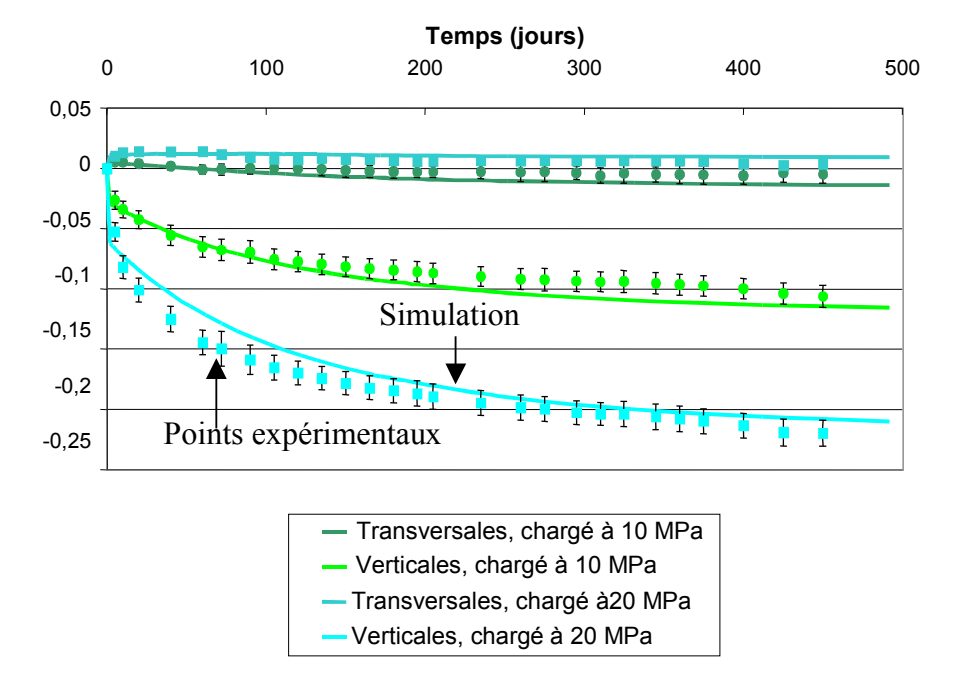


Figure 1.2-1: Identification des paramètres du fluage (FLUA_PORO_BETON) sur un essai de fluage

1.3 Conditions aux limites et chargements

Il s'agit ici d'une éprouvette en gonflement libre.

Le chargement se fait par les variables de commande de température et de saturation :

- Le coefficient de saturation varie linéairement de 0.83 à t=0 jours à 0.54 à t=500 jours .
- La température est constante égale à $20 \,^{\circ} C$ de t=0 jours à t=28 jours.
- La température varie linéairement de $20 \,^{\circ} \, C$ à $t = 28 \, jours$ à 38 °C à $t = 29 \, jours$.
- La température est constante égale à $38 \,^{\circ}C$ de $t=29 \, jours$ à $t=500 \, jours$.

Conditions aux limites :

- DY = 0 sur la face N2N3N6N5
- DNOR=0 sur la face N2N1N4N5
- DZ = 0 sur la face inférieure
- une pression est appliquée sur la surface supérieure et suit la fonction suivante :

$$a t=0.0 jour, P=0.00001 MPa$$

Révision: 13602

Date: 24/07/2015 Page: 4/7

Clé: V6.04.240

Titre: SSNV240 - Loi de comportement KIT_RGI: gonflement[...]

Responsable : François HAMON

à $t=28 \ jours$, $P=0.00001 \ MPa$ à $t=29 \ jours$, $P=0.00000001 \ MPa$

à t = 500 jours, P = 0.00000001 MPa

1.4 Conditions initiales

Néant

Titre: SSNV240 - Loi de comportement KIT_RGI: gonflement[...] Date: 24/07/2015 Page: 5/7
Responsable: François HAMON Clé: V6.04.240 Révision: 13602

2 Solution de Référence

2.1 Méthode de calcul

Un calcul de non régression est réalise.

2.2 Grandeurs et résultats de référence

La réponse du modèle KIT_RGI est illustrée par la figure suivante :

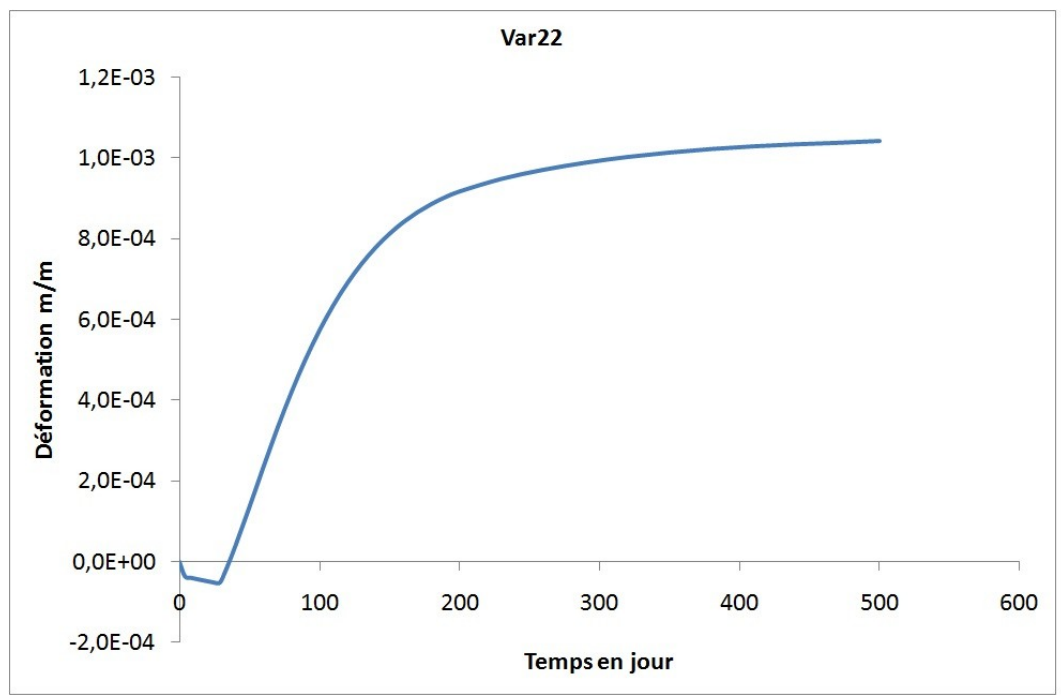


Figure 2-2 : Déformation verticale de l'éprouvettes en gonflement libre

Cette courbe ne caractérise pas un béton réél. Seule la forme générale est recherchée. Les valeurs testées sont les déplacements DZ, le volume de gel induit par la RAG V22 et la pression de gel V18 sur le nœud N5 à plusieurs instants.

2.3 Incertitudes sur la solution

Sans objet

2.4 Références bibliographiques

Néant

Titre: SSNV240 - Loi de comportement KIT_RGI: gonflement[...] Date: 24/07/2015 Page: 6/7

Responsable: François HAMON Clé: V6.04.240 Révision: 13602

3 Modélisation A

3.1 Caractéristique de la modélisation

Le problème est modélisé en 3D.

3.2 Caractéristique du maillage

1 maille PENTA6

3.3 Grandeurs testées et résultats

Les grandeurs testées au noeud N5 après le calcul de RGI_BETON sont le volume de gel de RAG V22(N5) au numéro d'ordre 8 et la déformation DZ(N5) au numéro d'ordre 39. A la fin du calcul de KIT RGI, les déformations DZ(N6) au noeud N6 et DZ(N5) au noeud N5 sont testées respectivement au numéros d'ordre 8 et 39. La pression de gel V18(N5) est testée au noeud N5 et au numéro d'ordre 39

Titre: SSNV240 - Loi de comportement KIT_RGI: gonflement[...]

Date: 24/07/2015 Page: 7/7 Responsable : François HAMON Clé: V6.04.240 Révision: 13602

Synthèse des résultats 4

Les résultats calculés par Code_Aster vérifient la non-régression.